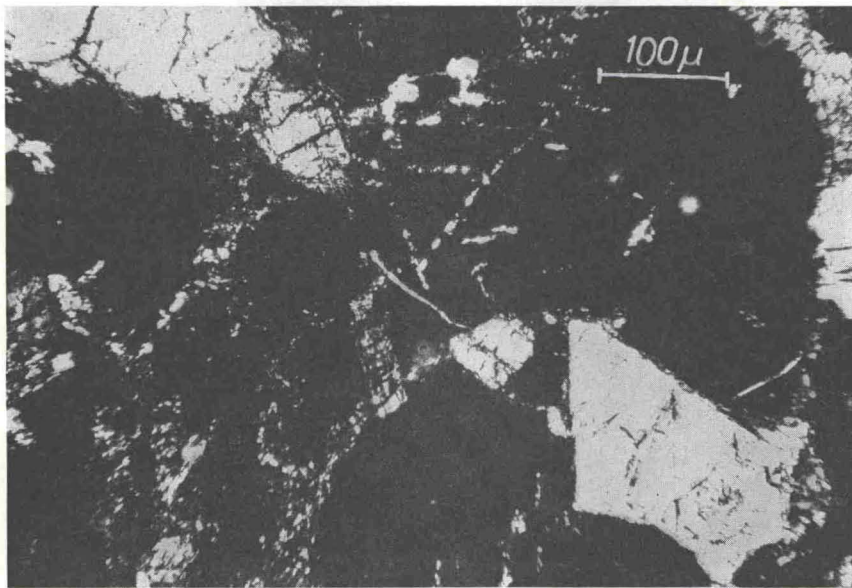


a) parallele Polarisatoren

Abb. 12. Diaplektisches Andesinglas mit Hornblende aus einem Amphibolit-Einschluß im Suevit von Alerheim (S 15).



b) gekreuzte Polarisatoren

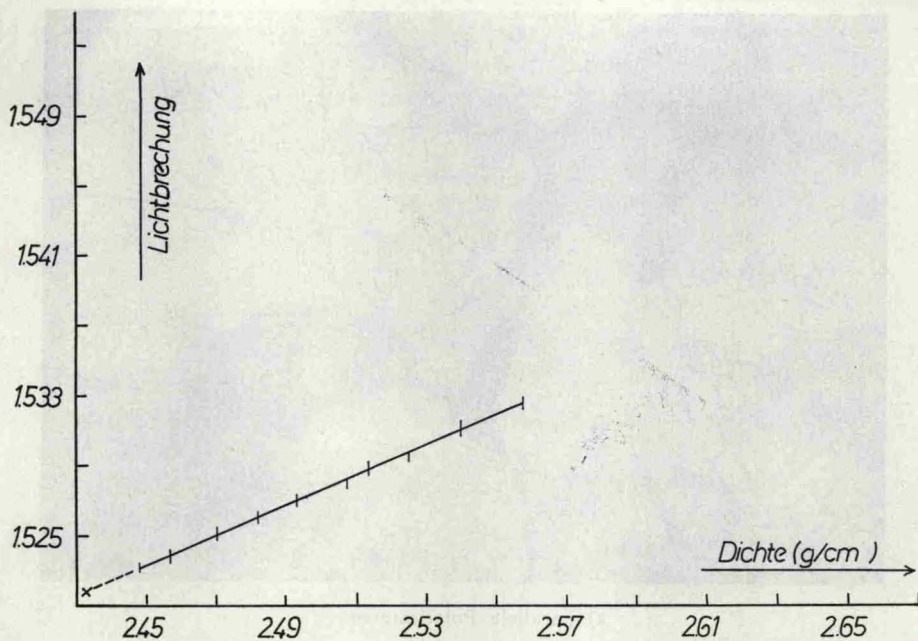


Abb. 13. Dichte und Lichtbrechung diaplektischer Andesine aus einem Amphibolit-Einschluß im Suevit von Bollstadt (B 135).

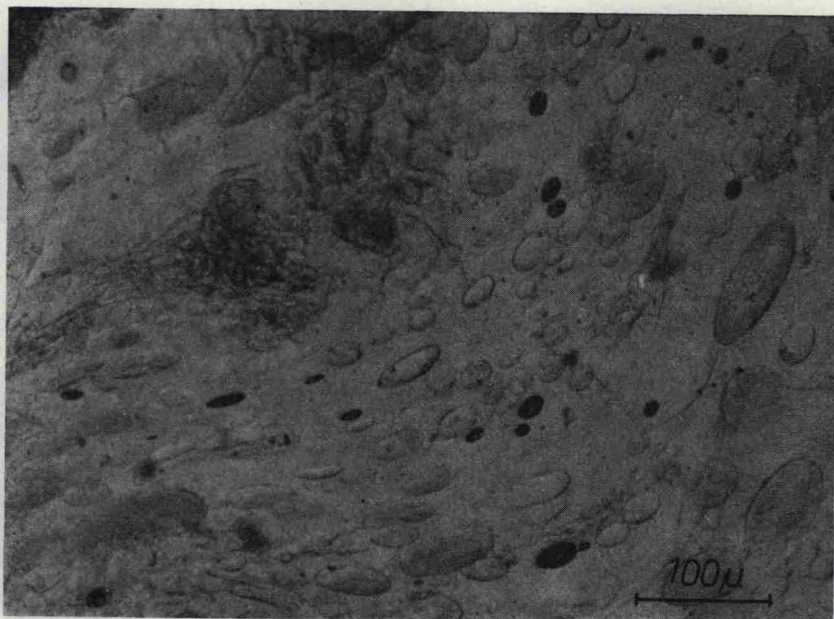


Abb. 14. Geschmolzenes Alkalifeldspatglas (ca. Or₅₅₋₆₀) mit Blasen und Fließstrukturen aus einem granitischen Einschluß im Suevit von Otting (S 169).